



“Decenio de la Igualdad de Oportunidades para mujeres y hombres”  
“Año de la recuperación y consolidación de la economía peruana”

PP 068 "Reducción de la Vulnerabilidad y Atención de Emergencia por Desastres"

Producto: “Estudios para la estimación de los riesgos de desastres”

## Actividad: “Generación de información y monitoreo del Fenómeno El Niño”

Instituto Geofísico del Perú

INFORME TÉCNICO N° PpR/El Niño-IGP/2025-11

17/12/2025

**Advertencia:** El presente informe sirve como insumo para la Comisión Multisectorial encargada del Estudio Nacional del Fenómeno “El Niño” (ENFEN). El pronunciamiento colegiado de la comisión multisectorial del ENFEN es la información oficial definitiva. La presente información podrá ser utilizada bajo su propia responsabilidad.

### Resumen

Es muy probable que las ondas de Kelvin frías continúen presentes en la costa peruana hasta enero de 2026. Luego, se espera el arribo de ondas de Kelvin cálidas durante el verano, principalmente. Estas ondas serían consecuencia de la reflexión de ondas de Rossby en el extremo occidental.

Para octubre, según el Índice Costero El Niño (ICEN), se mantiene en la categoría Neutra ( $-0.42$ ), al igual que los ICEN temporales (ICEN-tmp) estimados para noviembre ( $-0.55$ ) y diciembre ( $-0.57$ ). Asimismo, el promedio de los pronósticos de los modelos climáticos de NMME indican, a la fecha, que las anomalías de la temperatura superficial del mar frente a la costa norte y centro del Perú permanecerían dentro de la categoría Neutra hasta abril de 2026. No obstante, desde mayo de 2026, los modelos pronostican el desarrollo de un evento El Niño costero que se extendería, por lo pronto, hasta octubre.

En el Pacífico central, el Índice Oceánico Niño (ONI, por sus siglas en inglés) correspondiente a octubre ( $-0.55$ ) se localiza en la categoría Fría Débil, al igual que los valores del ONI temporales de noviembre ( $-0.64$ ) y diciembre ( $-0.62$ ). El promedio de los pronósticos de los modelos climáticos de NMME para diciembre de 2025 indican la categoría Fría Débil; entre enero y mayo de 2026 se localizan en la categoría Neutra. Finalmente, a partir de junio de 2026, el promedio de los pronósticos indica el desarrollo de un evento El Niño en el Pacífico central.

“Decenio de la Igualdad de Oportunidades para mujeres y hombres”  
“Año de la recuperación y consolidación de la economía peruana”

## Introducción

Empezando el año 2016, en el marco del programa presupuestal 068 "Reducción de la Vulnerabilidad y Atención de Emergencia por Desastres", algunas instituciones que conforman la Comisión Multisectorial encargada del Estudio Nacional del Fenómeno “El Niño” (ENFEN), bajo la coordinación del Instituto del Mar del Perú (IMARPE), participan en el producto "Estudios para la estimación de los riesgos de desastres", en el cual el IGP contribuye con la actividad denominada "Generación de información y monitoreo del Fenómeno El Niño". **El presente informe técnico se genera en el marco de esta actividad, el cual se entrega al IMARPE, como coordinador de la actividad y encargado de la presidencia de la comisión multisectorial, para contribuir a la evaluación periódica que dicha comisión realiza. El informe técnico, generado posteriormente por la comisión multisectorial, será el documento oficial sobre el monitoreo y pronóstico del fenómeno El Niño/La Niña en el Perú.**

## Índice Costero El Niño (ICEN) y el ICEN relativo

Utilizando la versión 5 de la información reconstruida y extendida de la temperatura superficial del mar (TSM), denominada ERSSTv5, se calculó el valor del ICEN (ENFEN, 2024) para octubre de 2025, el cual, se mantiene en la categoría Neutra (Tabla 1, Figura 1a). Cabe señalar que para el cálculo del último ICEN se utiliza la publicación actual en la web del archivo de ERSSTv5, cuyo último valor (“dato en tiempo real”) siempre cambiará en el siguiente mes. Por este motivo, existirán pequeñas discrepancias en el valor del ICEN para los meses anteriores cuando se use la data actualizada.

El IGP, como parte de su trabajo de investigación e innovación, ha desarrollado un nuevo indicador que se basa en el ICEN clásico (ENFEN, 2012) con una climatología 1991-2020, al cual ha denominado “ICEN relativo” (ICENr; Reupo et al., 2024). El ICENr, de acuerdo a su construcción estadística que se basa en criterios físicos, no tiene influencia del calentamiento global ni de variabilidades ajenas al ENOS. Con esta nueva formulación, considerando los mismos rangos para las categorías que se usan en el ICEN clásico (ENFEN, 2012), el ICENr de octubre de 2025 también se mantiene en la categoría Neutra (Tabla 1, Figura 1a). Es importante indicar que para el cálculo del ICENr se utilizan los datos que son denominados como “datos en tiempo real”.

**Tabla 1.** Valores recientes del ICEN e ICENr.

Año	Mes	ICEN	Categoría	ICENr	Categoría <sup>1</sup>
2025	Mayo	0.18	Neutra	-0.12	Neutra
2025	Junio	0.11	Neutra	-0.13	Neutra
2025	Julio	0.17	Neutra	-0.06	Neutra
2025	Agosto	-0.01	Neutra	-0.26	Neutra
2025	Setiembre	-0.22	Neutra	-0.47	Neutra
2025	Octubre	-0.42	Neutra	-0.67	Neutra

Para los siguientes dos meses se generan valores preliminares y temporales del ICEN (ICENtmp) e ICENr (ICENrtmp), los que se calculan con el promedio de los pronósticos de la anomalía de la TSM de NMME de un mes y dos meses para el primer y segundo ICENtmp e ICENrtmp. Los valores de ambos índices, de noviembre y diciembre de 2025, continúan en la categoría Neutra, pero con una tendencia negativa (Tabla 2, Figura 1a).

<sup>1</sup> Las categorías del ICENr son las mismas del ICEN clásico que se establecieron en ENFEN (2012).

“Decenio de la Igualdad de Oportunidades para mujeres y hombres”  
“Año de la recuperación y consolidación de la economía peruana”

**Tabla 2.** Valores temporales del ICEN e ICENr.

Año	Mes	ICENtmp	Categoría	ICENrttmp	Categoría
2025	Noviembre	-0.55	Neutra	-0.84	Neutra
2025	Diciembre	-0.57	Neutra	-0.93	Neutra

### Índice Oceánico Niño (ONI) y el ONI relativo

Para el Pacífico central (región Niño 3.4), el valor del ONI (Ocean Niño Index en inglés) de octubre de 2025 es  $-0.55$  °C, el cual alcanzó la categoría Fría Débil<sup>2</sup> (Tabla 3, Figura 1b). Asimismo, el ONI relativo (RONI<sup>3</sup>, por sus siglas en inglés; L'Heureux et al., 2024) del mismo mes, también se ubicaría en la categoría Fría Débil (Tabla 3 y Figura 1b).

**Tabla 3.** Valores recientes del ONI y RONI (se usan los datos en tiempo real, por lo que pueden existir discrepancias para los meses anteriores).

Índice Oceánico Niño				Índice Oceánico Niño Relativo	
Año	Mes	ONI (°C)	Categoría	RONI (°C)	Categoría
2025	Junio	-0.08	Neutra	-0.40	Neutra
2025	Julio	-0.17	Neutra	-0.46	Neutra
2025	Agosto	-0.32	Neutra	-0.63	Fría Débil
2025	Setiembre	-0.45	Neutra	-0.78	Fría Débil
2025	Octubre	-0.55	Fría Débil	-0.85	Fría Débil

Los valores temporales del ONI (ONItmp) de noviembre y diciembre se localizan en las categoría Fría Débil; mientras que los temporales del RONI (RONItmp) de los mismos meses, se clasifican como Fría Moderada (Tabla 4, Figura 1b). Ambos índices muestran una tendencia negativa.

**Tabla 4.** Valores temporales del ONItmp y RONItmp

Año	Mes	ONItmp	Categoría	RONItmp	Categoría
2025	Noviembre	-0.55	Fría Débil	-1.00	Fría Moderada
2025	Diciembre	-0.57	Fría Débil	-1.01	Fría Moderada

### Diagnóstico del Pacífico ecuatorial

Durante noviembre y las primeras semanas de diciembre, los valores diarios de la anomalía de la TSM (ATSM) en la región Niño 3.4 (panel superior de la Figura 2) se ubicaron dentro de la categoría fría débil. En la región Niño 1+2 (panel inferior de la Figura 2), la ATSM presentó anomalías negativas; no obstante, se mantuvieron dentro del rango normal.

<sup>2</sup> Los umbrales para establecer la categoría de condiciones cálidas o frías débiles, moderadas, fuertes, y muy fuertes usando el ONI son  $\pm 0.50$ ,  $\pm 1.00$ ,  $\pm 1.50$ , y  $\pm 2.00$ , respectivamente (ENFEN, 2015).

<sup>3</sup> <https://www.cpc.ncep.noaa.gov/data/indices/RONI.ascii.txt>

“Decenio de la Igualdad de Oportunidades para mujeres y hombres”  
“Año de la recuperación y consolidación de la economía peruana”

En los últimos 30 días, los datos de TAO (Figura 3) y ARGO (Figura 4) muestran que la profundidad de la termoclina está más (menos) profunda de lo normal al oeste (este) de 160°W, lo cual muestra un escenario clásico de La Niña. Por otro lado, según los datos diarios del esfuerzo de viento provenientes de CMEMS (Figura 5a), se presentaron dos pulsos de viento del este en el mes de noviembre en la primera y cuarta semana, en el mes de diciembre se observa un nuevo pulso cerca de la línea de cambio de fecha. El extremo oriental de la piscina caliente (línea morada continua en los paneles de la Figura 5) se localiza cerca de su posición climatológica (línea morada entre cortada en los paneles de la Figura 5). El producto OSTIA (Figura 5d) resalta que en la zona occidental la ATSM en la franja ecuatorial es cálida; mientras que en la zona central y oriental ha disminuido.

Los valores de OLR (Outgoing Longwave Radiation), variable relacionada a la actividad convectiva, hasta el 13 de diciembre fueron superiores a su climatología en las regiones [170°E-140°W, 5°S-5°N] (Figura 6) y [170°-100°W, 5°S-5°N] (Figura 7), lo cual es un indicador de un déficit en las precipitaciones en dichas regiones.

Según la información de altimetría satelital a lo largo de la franja ecuatorial, se sigue observando el paquete de ondas de Kelvin frías arribando a la costa americana (Figura 8a). Luego se espera la presencia de una onda de Kelvin cálidas que, a la fecha, se localiza en 140°W (ver Figura 3). En relación a las ondas de Rossby (Figura 8b), se siguen observando ondas cálidas en la zona occidental, las que aún se mantienen intensas (Figura 4). Con la información de los flotadores ARGO, a lo largo de la franja ecuatorial, se distingue la presencia de un paquete de ondas de Kelvin frías cuyo núcleo sigue desplazándose hacia el extremo oriental (Figura 5b). Por otro, un paquete de ondas de Kelvin cálidas se localiza en 140°W.

### Ondas de Kelvin a lo largo de la costa peruana

A lo largo de la costa peruana, dentro de los 100 km, si bien muestran anomalías positivas del nivel del mar, se observó un incremento que alcanzó los máximos valores en la primera mitad del mes (ver panel inferior de la Figura 9). Sin embargo, esto no tuvo una repercusión en la TSM dentro de los 300 km a lo largo de la costa (Figura 10). Según la información del flotador ARGO 6903002, hubo un incremento de la temperatura del mar dentro de los 20 metros de profundidad, pero por debajo de esta y hasta los 400 m hubo una disminución (Figura 11).

### Pronóstico de ondas de Kelvin

Según la información observada, *in situ* y satelital, se espera que se mantenga la presencia de ondas de Kelvin frías en la costa peruana, por lo pronto hasta inicios del 2026 (Figura 5). A partir del verano 2026 es probable la presencia de ondas de Kelvin cálidas que serían el resultado, por ahora, de la reflexión de ondas de Rossby cálidas en el extremo occidental (Figura 8a). De darse este escenario, existe la probabilidad de un incremento anómalo de la TSM a lo largo de la costa peruana desde febrero hacia adelante. La presencia de ondas de Rossby cálidas en la zona occidental dependerá, principalmente, del desarrollo de pulsos de viento del oeste.

Los resultados de los modelos de ondas del IGP (Figura 12, 13 y 14) —forzado con el *reanalysis* de NCEP para el diagnóstico (hasta el 12 de diciembre) y luego con vientos igual a cero para el pronóstico— mantienen el pronóstico de ondas de Kelvin cálidas durante el verano. Por ahora no se ven muy intensas (Figuras 45 y 46). Hay que tener en cuenta que estos modelos no simulan los procesos de dispersión modal relacionadas a la inclinación de la termoclina.

“Decenio de la Igualdad de Oportunidades para mujeres y hombres”  
“Año de la recuperación y consolidación de la economía peruana”

### Pronóstico estacional con modelos climáticos

Para la región Niño 1+2, el promedio de los pronósticos de los modelos climáticos de NMME (CFSv2, CanSIPS-IC4, GEM5.2\_NEMO, NASA-GEOS2S, COLA-RSMAS-CCSM4 y COLA-RSMAS-CESM1)<sup>4</sup>, con condiciones iniciales de diciembre de 2025, indica que el ICEN se mantendría en la categoría Neutra hasta abril de 2026, para luego evolucionar hacia condiciones cálidas, las que se prolongarían hasta octubre, por lo pronto (ver Tabla 5 y Figura 15). Esto último sugiere la presencia de un evento El Niño costero que se iniciaría a partir de mayo; sin embargo, hay que tener en cuenta la barrera de predictibilidad que provoca que los pronósticos más allá de abril sean menos confiables.

**Tabla 5.** Pronósticos del ICEN de los modelos climáticos con condiciones iniciales de diciembre de 2025

Modelo	NDE*	DEF	EFM	FMA	MAM	AMJ	MJJ	JJA	JAS	ASO	SON
CFSv2	-0.50	-0.32	0.00	0.30	0.63	0.94	1.14	1.15	1.02	-----	-----
CanSIPS-IC4	-0.23	-0.04	0.05	0.21	0.41	0.58	0.71	0.76	0.80	0.81	0.77
GEM5.2_NEMO	-0.37	-0.20	-0.01	0.05	0.09	0.08	0.18	0.24	0.26	0.23	0.22
NASA-GEOS2S	-0.94	-0.99	-0.78	-0.51	-0.11	0.37	0.76	0.92	-----	-----	-----
COLA-RSMAS-CCSM4	-0.71	-0.55	-0.07	0.44	0.89	1.33	1.70	1.94	2.05	2.11	2.06
COLA-RSMAS-CESM1	-0.66	-0.47	0.01	0.46	0.84	1.23	1.69	2.03	2.20	2.26	2.30
<b>Promedio</b>											
NMME	-0.57	-0.43	-0.13	0.16	0.46	0.76	1.03	1.17	1.26	1.35	1.34

(\*) En el trimestre NDE se consideran las anomalías mensuales de TSM del producto ERSSTv5 (noviembre) y de NMME (diciembre y enero de 2026)

Para el Pacífico central (región Niño 3.4), los modelos de NNME pronostican: 1) condición fría débil en el mes de diciembre, 2) condiciones neutras entre enero y abril de 2026 y, por lo pronto, 3) condiciones cálidas a partir de junio de 2026 que se prolongarían hasta octubre (ver Tabla 6 y Figura 16). Esto sería la consecuencia de una tendencia positiva que se observaría desde enero de 2026 que conlleva al desarrollo de un evento El Niño en dicha región. A diferencia de los pronósticos del ICEN, la dispersión de los pronósticos, a la fecha, es más marcada en abril de 2026.

El modelo de IA del IGP, con condiciones iniciales de noviembre de 2025, indica que el índice E, relacionado a El Niño en la región oriental del Pacífico (Niño E), muestra en promedio valores negativos hasta mayo de 2026, luego se observan valores positivos hasta, por lo pronto, noviembre de 2026. Esto es parte de una tendencia positiva que se iniciaría en febrero de 2026. A la fecha, es improbable que se desarrolle un evento El Niño E fuerte en enero (Figura 17a). Por otro lado, en lo que respecta al índice C, relacionado a El Niño en el Pacífico central (Niño C), este muestra valores negativos constantes que se extienden, por lo pronto, hasta noviembre de 2026, aunque también con una tendencia positiva (Figura 17b).

<sup>4</sup> A la fecha, no se tuvo información el modelo GFDL\_SPEAR2.

“Decenio de la Igualdad de Oportunidades para mujeres y hombres”  
“Año de la recuperación y consolidación de la economía peruana”

**Tabla 6.** Pronósticos del ONI de los modelos climáticos con condiciones iniciales diciembre de 2025

Modelo	NDE*	DEF	EFM	FMA	MAM	AMJ	MJJ	JJA	JAS	ASO	SON
CFSv2	-0.54	-0.40	-0.12	0.11	0.31	0.44	0.56	0.71	0.89	-----	-----
CanSIPS-IC4	-0.51	-0.39	-0.14	0.08	0.25	0.39	0.49	0.54	0.54	0.53	0.54
GEM5.2_NEMO	-0.43	-0.28	-0.10	0.04	0.15	0.31	0.44	0.50	0.45	0.37	0.34
NASA-GEOSS2S	-0.74	-0.70	-0.43	-0.11	0.16	0.40	0.65	0.90	-----	-----	-----
COLA-RSMAS-CCSM4	-0.54	-0.41	-0.12	0.16	0.40	0.60	0.86	1.20	1.52	1.73	1.85
COLA-RSMAS-CESM1	-0.58	-0.43	-0.11	0.20	0.45	0.75	1.13	1.59	1.98	2.29	2.47
<b>Promedio</b>											
NMME	-0.56	-0.43	-0.17	0.08	0.29	0.48	0.69	0.90	1.08	1.23	1.30

(\*) En el trimestre NDE se consideran las anomalías mensuales de TSM del producto ERSSTv5 (noviembre) y de NMME (diciembre y enero de 2026)

### Conclusiones

Si bien los valores del ICEN e ICENr de octubre, así como sus temporales de noviembre y diciembre, se mantienen en la categoría Neutra, se observa una lenta tendencia negativa, iniciada en julio, que se aproxima a las condiciones frías. Por su parte, los valores del ONI y RONI se ubican en la categoría fría débil, mientras que sus valores temporales indican las condiciones frías débiles y frías moderadas, respectivamente.

Según la proyección de la actividad de ondas de Kelvin y Rossby, en base a los datos observados, in situ y satelital, a la fecha, así como de las simulaciones numéricas, es muy probable que hasta inicios del año 2026 se observen ondas de Kelvin frías frente a la costa peruana. Luego, es probable la presencia de ondas de Kelvin cálidas durante el verano y el otoño del 2026. Cabe señalar que en el verano las temperaturas del mar a lo largo de la costa peruana son las más altas (ver Figura 3 en Woodman & Takahashi, 2014) pero es en la zona norte donde la temperatura del mar alcanza valores cercanos a los 26°C, valor que está relacionado, estadísticamente, a lluvias intensas (Woodman, 2005). Por lo tanto, la presencia de fenómenos intraestacionales como las ondas de Kelvin, en este caso cálidas, pueden incrementar los valores de temperatura esperados para el verano y alcanzar el valor límite que está relacionado a las lluvias intensas.

En cuanto al promedio de las proyecciones climáticas de los modelos de NMME en la región Niño 1+2, si bien se esperan condiciones normales hasta fines del verano de 2026, existe una tendencia positiva desde enero de 2026 que se mantendría hasta octubre de 2026. Esto conlleva a que el promedio de los pronósticos alcance la condición cálida en mayo y que se mantenga hasta, por lo pronto, octubre. Este escenario es el un evento El Niño costero, que se iniciaría en mayo y continuaría, por lo pronto, hasta octubre de 2026. Sabemos que, debido a la barrera de predictibilidad, los pronósticos más allá de abril son menos confiables (Reupo y Takahashi, 2014); sin embargo, esta tendencia sigue siendo pronosticada por NMME desde junio de este año y, además, la dispersión de los pronósticos, que es mayor desde abril, se ubica principalmente en la condición cálida.

En lo que respecta al Pacífico central, el promedio de los modelos de NMME pronostica el desarrollo de un evento La Niña que se iniciaría en octubre y concluiría en diciembre. Sin embargo, durante enero de 2026, si bien la ATSM se encuentra en el rango normal sus valores son aún negativos. Por lo tanto, según Lagos et al. (2008), es posible el desarrollo de lluvias por encima de lo normal en los Andes del sur. Al igual que los pronósticos en la región Niño 1+2, se pronostica una tendencia positiva, pero en este caso se iniciaría



PERÚ

Ministerio  
del Ambiente

Instituto  
Geofísico del Perú - IGP



“Decenio de la Igualdad de Oportunidades para mujeres y hombres”  
“Año de la recuperación y consolidación de la economía peruana”

enero de 2026, la cual se mantiene, por ahora, hasta octubre de 2026. Esto conlleva a un escenario El Niño en dicha región. Cabe resaltar que los pronósticos que conforman este promedio muestran una dispersión a partir de junio.



“Decenio de la Igualdad de Oportunidades para mujeres y hombres”  
“Año de la recuperación y consolidación de la economía peruana”

## Bibliografía

- **Aparco J., Mosquera K. & Takahashi K.** (2014). Flotadores Argo para el cálculo de la anomalía de la profundidad de la termoclina ecuatorial (Aplicación Operacional). *Boletín técnico: Generación de modelos climáticos para el pronóstico de la ocurrencia del Fenómeno El Niño*, Instituto Geofísico del Perú, 1(5), 8-9. <http://hdl.handle.net/20.500.12816/4642>
- Cravatte, S., W. S. Kessler, N. Smith, S. E. Wijffels, Ando, K., Cronin, M., Farrar, T., Guilyardi, E., Kumar, A., Lee, T., Roemmich, D., Serra, Y., Sprintall, J., Strutton, P., Sutton, A., **Takahashi, K.** y Wittenberg, A. (2016) First Report of TPOS 2020. GOOS-215, 200 pp. [<http://tpos2020.org/first-report>]
- DiNezio, P. (2016). Desafíos en la predicción de La Niña, *Boletín técnico: Generación de información y monitoreo del Fenómeno El Niño*, Instituto Geofísico del Perú, 3(9), 4-8. <http://hdl.handle.net/20.500.12816/5090>
- ENFEN (2012). Definición operacional de los eventos “El Niño” y “La Niña” y sus magnitudes en la costa del Perú. Nota Técnica ENFEN.
- ENFEN (2015). Pronóstico probabilístico de la magnitud de El Niño costero en el verano 2015-2016. Nota Técnica ENFEN 02-2015.
- ENFEN (2024). Definición Operacional de los Eventos el Niño Costero y la Niña Costera en el Perú. Nota Técnica ENFEN 01-2024
- Huang, B., Thorne, P.W, Banzon, V. F., Boyer, T., Chepurin, G., Lawrimore, J. H., Menne, M. J., Smith, T. M., Vose, R. S. & Zhang, H.-M. (2017). Extended Reconstructed Sea Surface Temperature version 5 (ERSSTv5): Upgrades, validations, and intercomparisons, *J. Climate*, 30(20), 8179-8205. <https://doi.org/10.1175/JCLI-D-16-0836.1>
- Kug, J.-S., Jin, F.-F. & An, S.-I. (2009) Two types of El Niño events: Cold tongue El Niño and warm pool El Niño. *J. Climate*, 22(6), 1499-1515. <https://doi.org/10.1175/2008JCLI2624.1>
- L'Heureux M. L., et al. (2024). A relative sea surface temperature index for classifying ENSO events in a changing climate. *J. Climate*, 37(4), 1197–211. <https://doi.org/10.1175/JCLI-D-23-0406.1>
- **Lagos, P., Silva, Y., Nickl, E., & Mosquera, K.** (2008). El Niño–related precipitation variability in Perú. *Advances in Geosciences*, 14, 231-237. <https://doi.org/10.5194/adgeo-14-231-2008>
- Lavado-Casimiro, W. & **Espinoza, J. C.** (2014). Impactos de El Niño y La Niña en las lluvias del Perú (1965-2007). *Revista Brasileira de Meteorologia*, 29(2), 171-182. <https://doi.org/10.1590/S0102-77862014000200003>
- Meehl G, Hu A, Teng H. (2016). Initialized decadal prediction for transition to positive phase of the Interdecadal Pacific Oscillation. *Nature Communications*, doi: 10.1038/ncomms11718
- **Montes, I., Segura, B., Castellón, F., Manay, R., Mosquera, K. & Takahashi, K.** (2023). Pronósticos experimentales del posible FEN para la Comisión ENFEN con un modelo de Sistema Tierra de alta resolución para el territorio nacional y el Pacífico oriental. Informe Técnico, p. 16. <http://hdl.handle.net/20.500.12816/5506>
- **Morera, S. B.,** Condom, T., Crave, A., Steer, P. & Guyot, J. L. (2017). The impact of extreme El Niño events on modern sediment transport along the western Peruvian Andes (1968-2012). *Sci Rep* 7, p. 11947. <https://doi.org/10.1038/s41598-017-12220-x>



PERÚ

Ministerio  
del Ambiente

Instituto  
Geofísico del Perú



“Decenio de la Igualdad de oportunidades para mujeres y hombres”  
“Año del Bicentenario, de la consolidación de nuestra Independencia,  
y de la conmemoración de las heroicas batallas de Junín y Ayacucho”

- **Mosquera, K.** (2009). Variabilidad Intra-estacional de la Onda de Kelvin Ecuatorial en el Pacífico (2000-2007): Simulación Numérica y datos observados. Tesis para obtener el grado de Magíster en Física - Mención Geofísica en la Universidad Nacional Mayor de San Marcos, Lima, Perú. <https://hdl.handle.net/20.500.12672/3594>
- **Mosquera, K., Dewitte B. & Lagos, P.** (2010). Variabilidad Intra-estacional de la onda de Kelvin ecuatorial en el Pacífico (2000-2007): simulación numérica y datos observados. *Magistri et Doctores*, 5(9), 55-82. <http://hdl.handle.net/20.500.12816/949>
- **Mosquera, K.** (2014). Ondas Kelvin oceánicas y un modelo oceánico simple para su diagnóstico y pronóstico. *Boletín técnico: Generación de modelos climáticos para el pronóstico de la ocurrencia del Fenómeno El Niño*, Instituto Geofísico del Perú, 1(1), 4-7. <http://hdl.handle.net/20.500.12816/4638>
- **Mosquera, K. & Dewitte, B.** (2016). ¿Por qué las ondas Kelvin oceánicas no impactaron tanto la TSM en la costa de Perú durante el evento El Niño 2015/16? *Boletín técnico: Generación de información y monitoreo del Fenómeno El Niño*, Instituto Geofísico del Perú, 3(3), 4-8. <http://hdl.handle.net/20.500.12816/4649>
- **Ramos, Y.** (2015). El cambio climático y la lluvia en la costa norte. *Boletín técnico: “Generación de modelos climáticos para el pronóstico de la ocurrencia del Fenómeno El Niño”*, Instituto Geofísico del Perú, 2(8), 4-8. <http://hdl.handle.net/20.500.12816/5064>
- **Reupo, J. & Takahashi, K.** (2014). Validación de pronósticos con modelos globales: correlaciones de TSM (1982-2010). *Boletín técnico: Generación de modelos climáticos para el pronóstico de la ocurrencia del Fenómeno El Niño*, Instituto Geofísico del Perú, 1(1), 8-9. <http://hdl.handle.net/20.500.12816/5041>
- **Reupo, J., Takahashi, K. & Mosquera, K.** (2024). Índice costero El Niño relativo (ICENr). *Boletín científico El Niño*, Instituto Geofísico del Perú, 11(9), 16-21.
- **Rivera Tello, G.A., Takahashi, K. & Karamperidou, C.** (2023). Explained predictions of strong eastern Pacific El Niño events using deep learning. *Sci Rep* 13. <https://doi.org/10.1038/s41598-023-45739-3>
- **Sulca, J., Takahashi, K., Espinoza, J.C., Vuille, M. & Lavado-Casimiro, W.** (2017). Impacts of different ENSO flavors and tropical Pacific convection variability (ITCZ, SPCZ) on austral summer rainfall in South America, with a focus on Peru. *Int. J. Climatol.* <https://doi.org/10.1002/joc.5185>
- **Sulca, J.** (2025) ENSO diversity regulation of the impact of MJO on extreme snowfall events in the Peruvian Andes. *International Journal of Climatology*. DOI: 10.1002/JOC.8790 In Press
- **Takahashi, K.** (2017). Verificación de los pronósticos probabilísticos de El Niño y La Niña costeros. *Boletín Técnico "Generación de modelos climáticos para el pronóstico de la ocurrencia del Fenómeno El Niño"*, Instituto Geofísico del Perú, 4(8), 8-9. <http://hdl.handle.net/20.500.12816/5108>
- **Takahashi, K., Montecinos, A., Goubanova, K., & Dewitte, B.** (2011). ENSO regimes: reinterpreting the canonical and Modoki El Niño. *Geophysical Research Letters*, 38(10). <https://doi.org/10.1029/2011GL047364>
- **Takahashi, K., Martínez, A. G.** (2019). The very strong coastal El Niño in 1925 in the far-eastern Pacific. *Clim Dyn* 52, 7389–7415. <https://doi.org/10.1007/s00382-017-3702-1>





PERÚ

Ministerio  
del Ambiente

Instituto  
Geofísico del Perú



“Decenio de la Igualdad de oportunidades para mujeres y hombres”  
“Año del Bicentenario, de la consolidación de nuestra Independencia,  
y de la conmemoración de las heroicas batallas de Junín y Ayacucho”

- Thoma, M., Greatbatch, R., Kadow, C. & Gerdes, R. (2015). Decadal hindcasts initialized using observed surface wind stress: Evaluation and prediction out to 2024. *Geophysical Research Letters*, 42. <https://doi.org/10.1002/2015GL064833>
- Urbina, B. & K. Mosquera (2020). Implementación y validación de un modelo oceánico multimodal para la región ecuatorial del océano Pacífico. *Boletín científico El Niño*, Instituto Geofísico del Perú, 7(1), 13-20. <http://hdl.handle.net/20.500.12816/4855>
- Woodman, R. & Takahashi, K. (2014). ¿Por qué no llueve en la costa del Perú (salvo durante El Niño)? Boletín técnico: Generación de modelos climáticos para el pronóstico de la ocurrencia del Fenómeno El Niño, Instituto Geofísico del Perú, 1(6), 4-7.

Nota: Los Boletines Técnicos del IGP citados se pueden encontrar en:

<https://repositorio.igp.gob.pe/>

#### Equipo

Kobi Mosquera, Dr. (responsable)

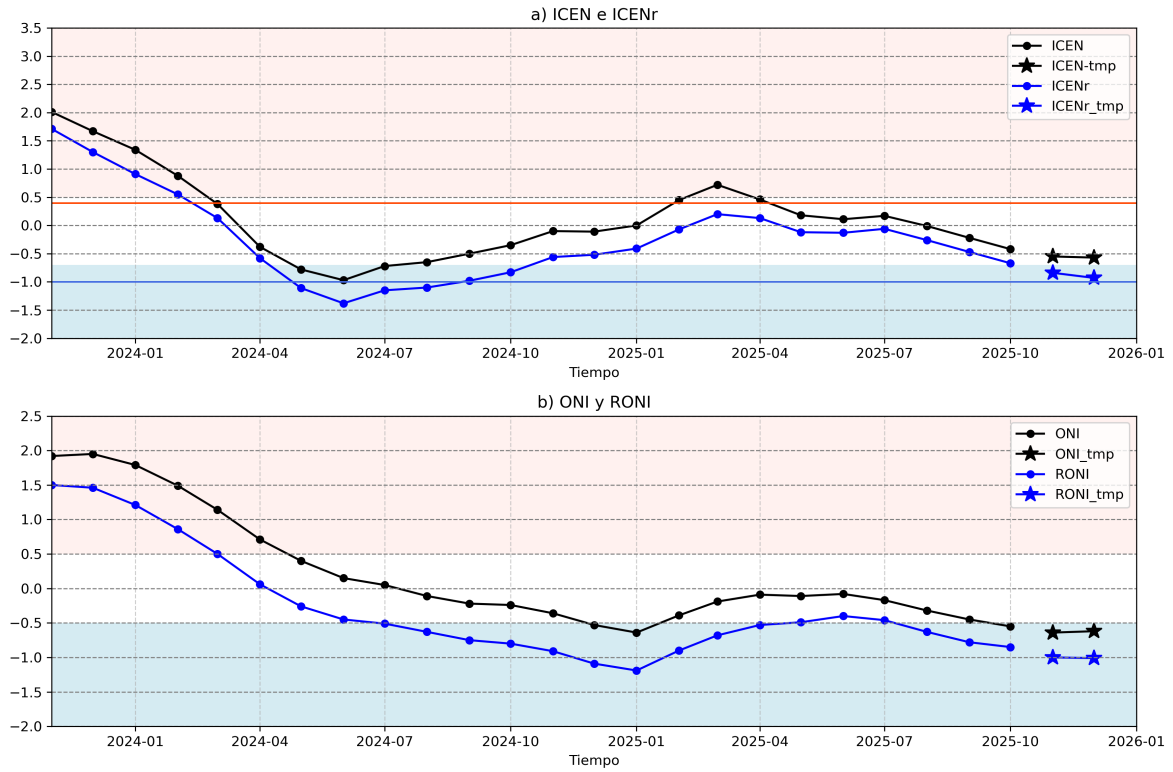
Jorge Reupo, Lic.

Miguel Andrade, Lic.

Jeremy Romero, Bach.

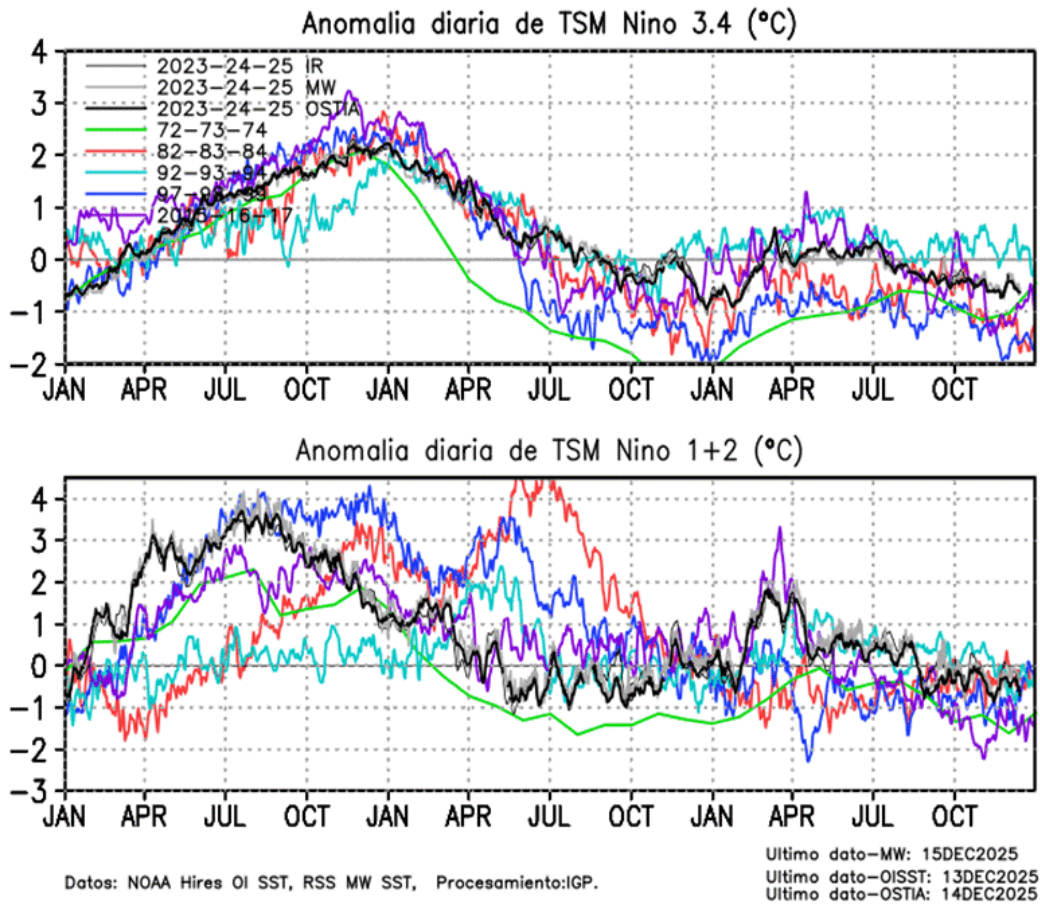


“Decenio de la Igualdad de oportunidades para mujeres y hombres”  
“Año del Bicentenario, de la consolidación de nuestra Independencia,  
y de la conmemoración de las heroicas batallas de Junín y Ayacucho”



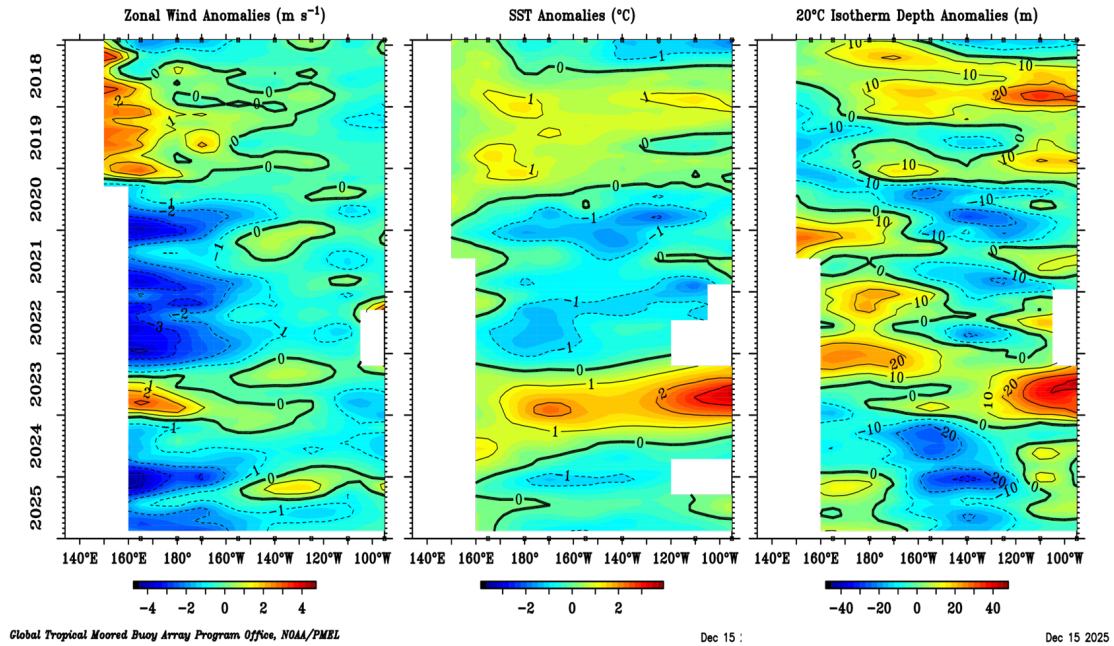
**Figura 1.** Series de tiempo del (a) ICEN (línea con punto de color negro) e ICENr (línea con punto de color azul), así como sus temporales (con estrellas del mismo color), y (b) igual que (a) pero para el ONI y RONI. El fondo de color rosado (celeste) indica condición cálida (fría) para el ICEN (ONI y RONI). Para el ICENr, ver en (a), la condición cálida inicia en 0.4 (línea horizontal anaranjada) y la condición fría en -1 (línea horizontal de color azul). Elaborado por el IGP.

“Decenio de la Igualdad de oportunidades para mujeres y hombres”  
“Año del Bicentenario, de la consolidación de nuestra Independencia,  
y de la conmemoración de las heroicas batallas de Junín y Ayacucho”



**Figura 2.** Series de tiempo de la anomalía diaria de la TSM en la región Niño 3.4 (arriba) y en la región Niño 1+2 (abajo). Las líneas en color negro (gruesa), gris y negro (fina) indican la evolución de la anomalía de la TSM usando información infrarroja (IR), microondas (MW) y del producto OSTIA, respectivamente. Las líneas de color verde, rojo, celeste, azul y magenta indican la evolución de la anomalía de la TSM para los periodos 1972-1974, 1982-1984, 1992-1994, 1997-1999 y 2015-2017. Elaborado por el IGP.

“Decenio de la Igualdad de oportunidades para mujeres y hombres”  
“Año del Bicentenario, de la consolidación de nuestra Independencia,  
y de la conmemoración de las heroicas batallas de Junín y Ayacucho”



**Figura 3.** Promedio mensual de la anomalía del viento zonal (panel izquierdo), de la temperatura superficial del mar (panel central) y de la profundidad de la isoterma de 20 °C (panel derecho) y a lo largo de la franja ecuatorial del Pacífico (2°S-2°N). Esta imagen se elaboró de otras que se obtienen del proyecto TAO: [www.pmel.noaa.gov/](http://www.pmel.noaa.gov/)

“Decenio de la Igualdad de oportunidades para mujeres y hombres”  
“Año del Bicentenario, de la consolidación de nuestra Independencia,  
y de la conmemoración de las heroicas batallas de Junín y Ayacucho”

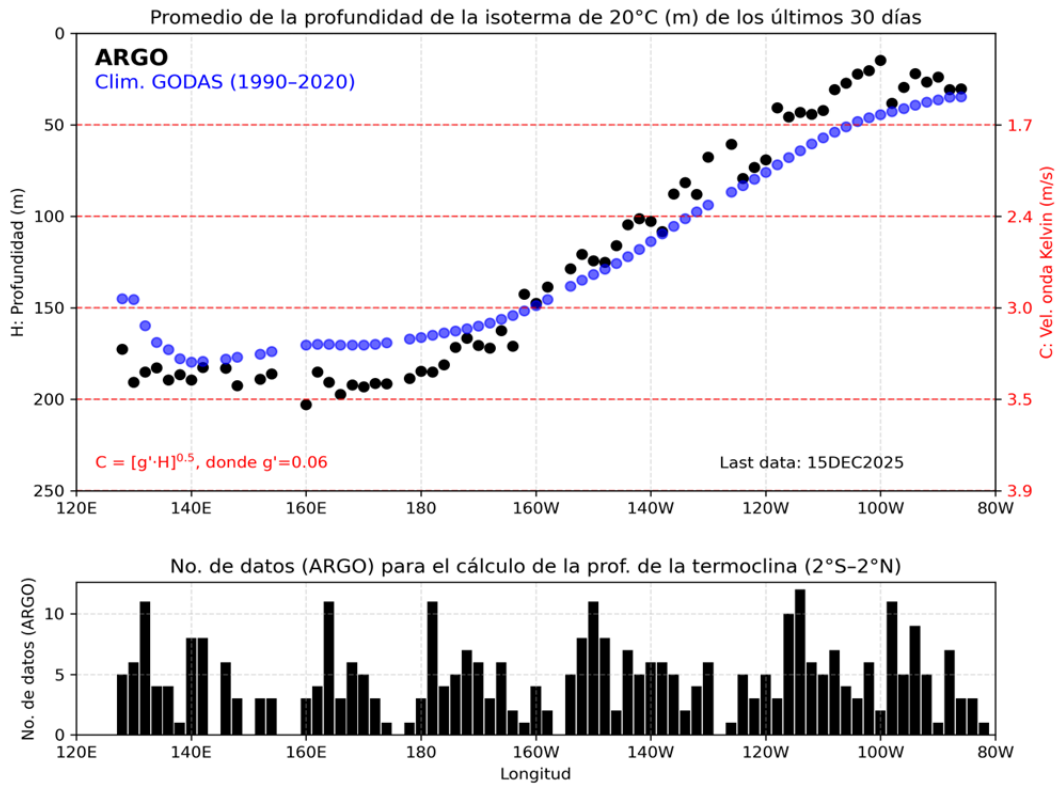
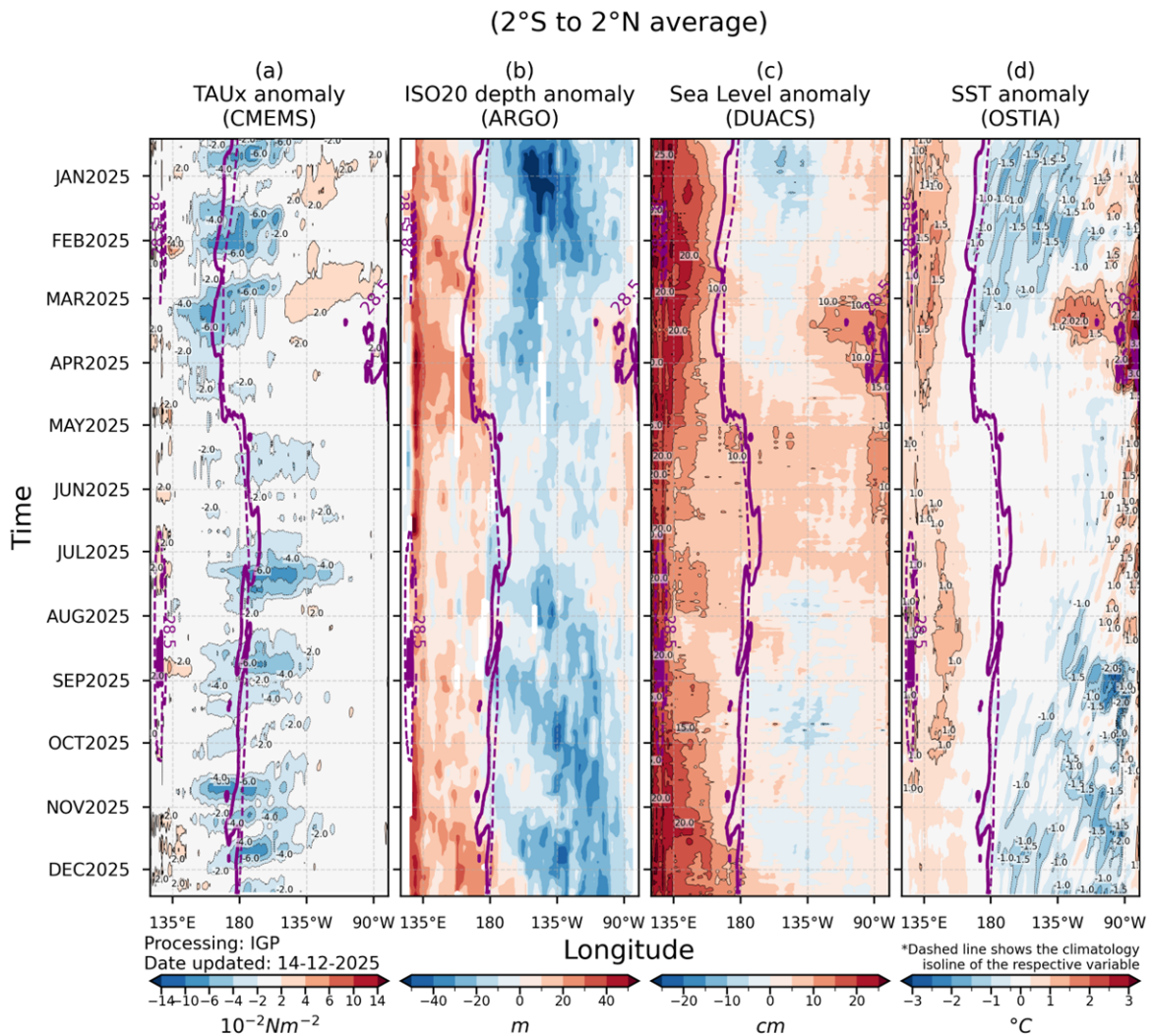


Figura 4. Profundidad de la isoterma de 20°C, como promedio de los últimos 30 días. Fuente ARGO. Elaborado por el IGP.

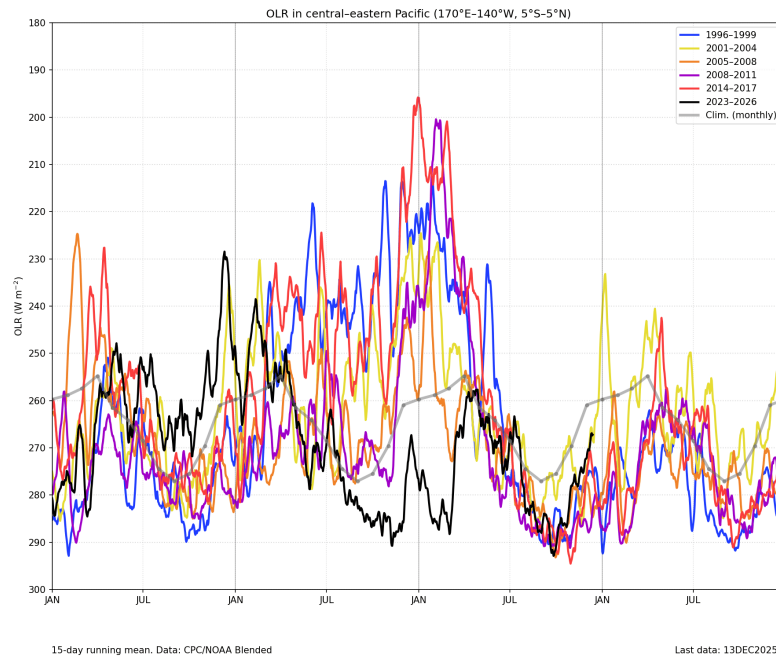
“Decenio de la Igualdad de oportunidades para mujeres y hombres”  
“Año del Bicentenario, de la consolidación de nuestra Independencia,  
y de la conmemoración de las heroicas batallas de Junín y Ayacucho”



**Figura 5.** Diagrama longitud-tiempo en la franja ecuatorial de las anomalías, de izquierda a derecha, a) del esfuerzo de viento zonal (CMEMS), b) de la profundidad de la termoclina (ARGO), c) del nivel del mar (DUACS) y d) de la temperatura del mar (OSTIA). La línea morada continua (entrecortada) indica la posición observada (climatológica) de la isoterma de 28.5 °C. Elaborado por el IGP.



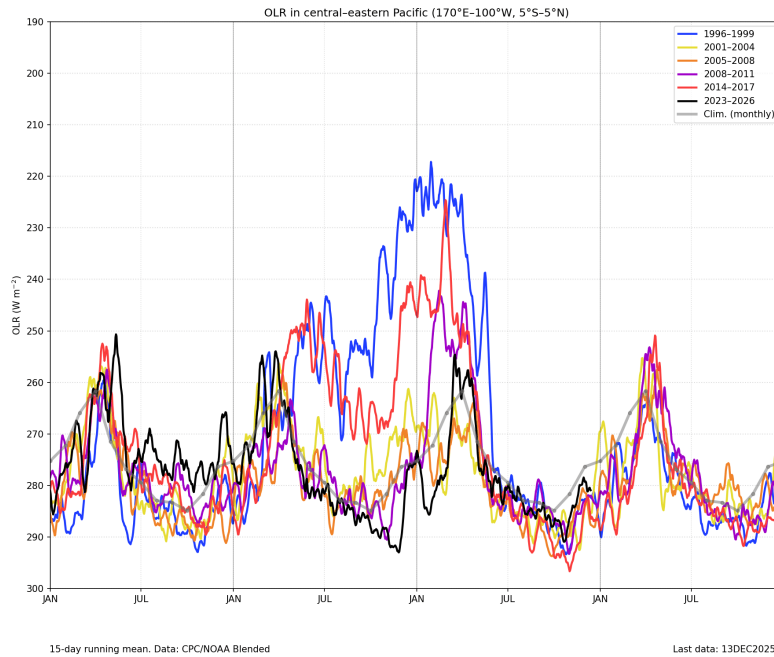
“Decenio de la Igualdad de oportunidades para mujeres y hombres”  
“Año del Bicentenario, de la consolidación de nuestra Independencia,  
y de la conmemoración de las heroicas batallas de Junín y Ayacucho”



**Figura 6.** Actividad convectiva en el Pacífico central oriental (170°E-140°W y 5°S-5°N) en base a la información de OLR. Elaborado por el IGP.

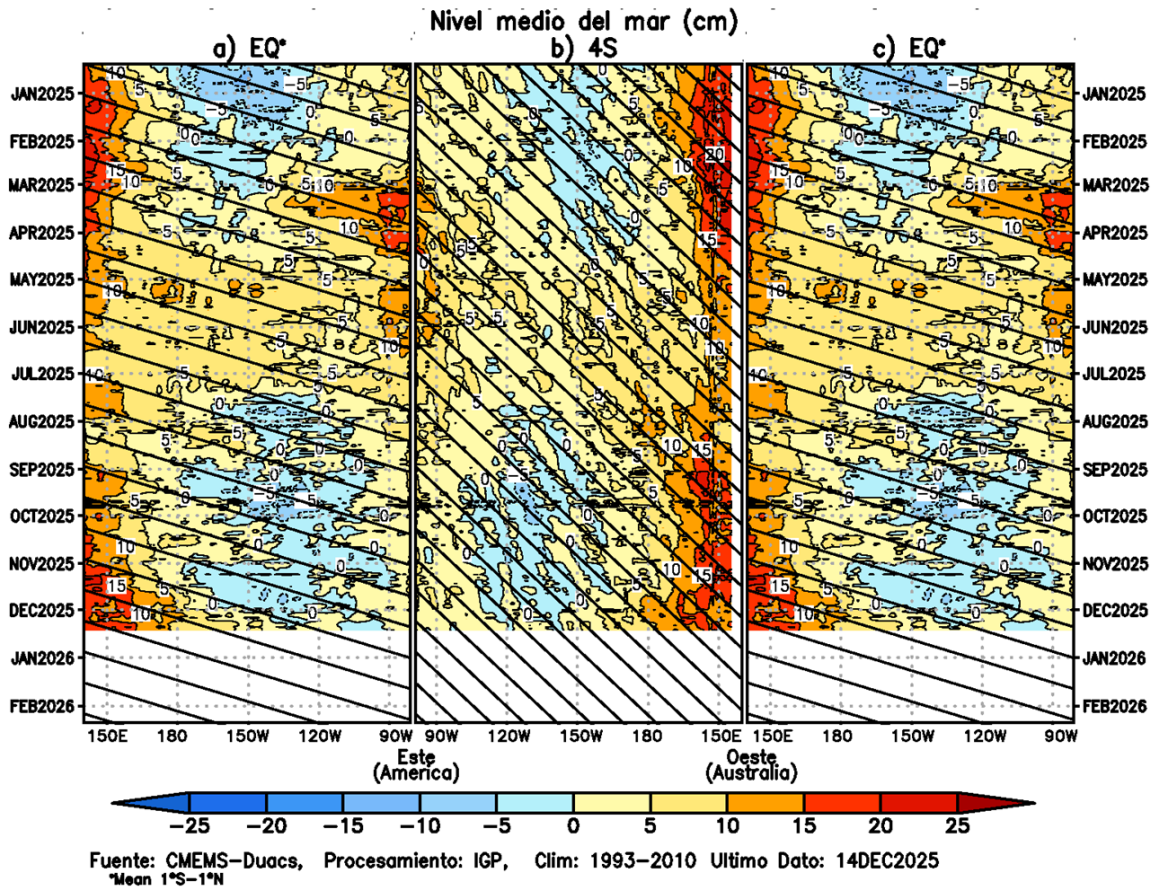


“Decenio de la Igualdad de oportunidades para mujeres y hombres”  
“Año del Bicentenario, de la consolidación de nuestra Independencia,  
y de la conmemoración de las heroicas batallas de Junín y Ayacucho”



**Figura 7.** Actividad convectiva en el Pacífico central oriental (170°W-100°W y 5°S-5°N) en base a la información de OLR. Elaborado por el IGP.

“Decenio de la Igualdad de oportunidades para mujeres y hombres”  
“Año del Bicentenario, de la consolidación de nuestra Independencia,  
y de la conmemoración de las heroicas batallas de Junín y Ayacucho”



**Figura 8.** Diagramas longitud-tiempo de la anomalía del nivel medio del mar en el Pacífico ecuatorial usando el producto DUACS. Los paneles (a) y (c) son los mismos y representan la información a lo largo de la línea ecuatorial; mientras que (b), a lo largo de 4°S, pero con el eje zonal de este a oeste. Las líneas diagonales indican la trayectoria teórica de la onda de Kelvin (a y c) y Rossby (b) si tuvieran una velocidad aproximada de 2.6 m/s y 0.87 m/s, respectivamente. Elaborado por el IGP.

“Decenio de la Igualdad de oportunidades para mujeres y hombres”  
“Año del Bicentenario, de la consolidación de nuestra Independencia,  
y de la conmemoración de las heroicas batallas de Junín y Ayacucho”

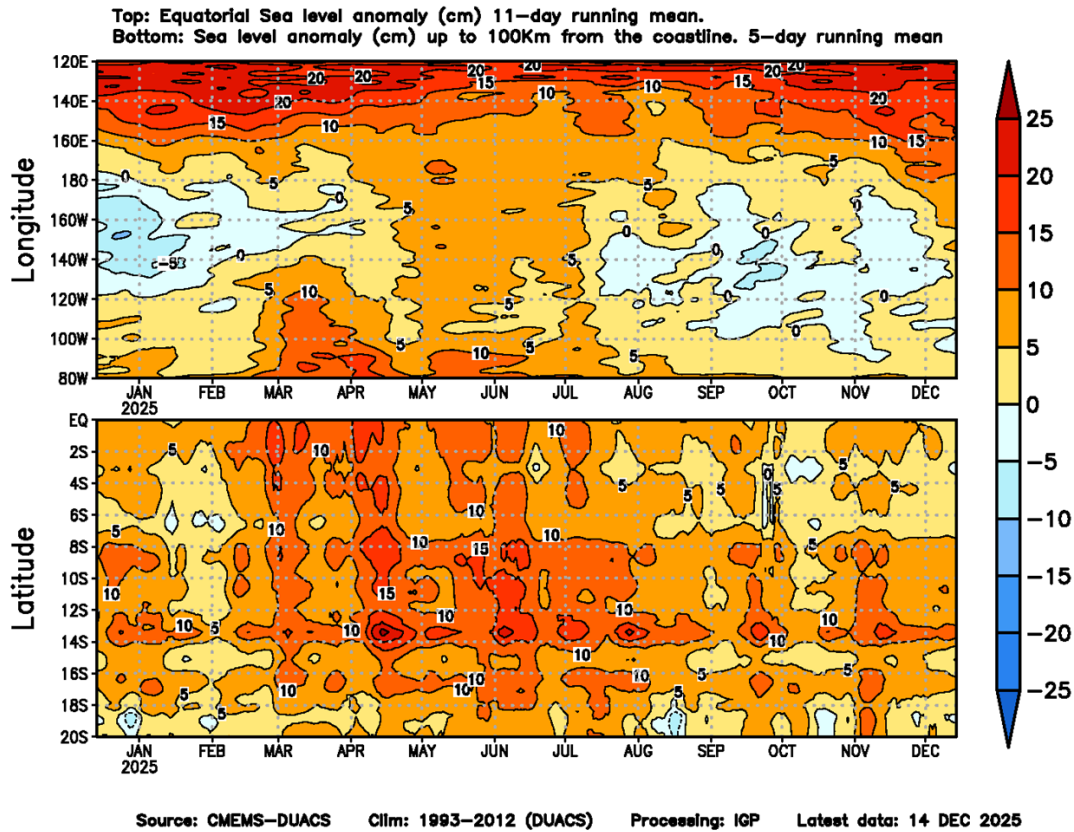
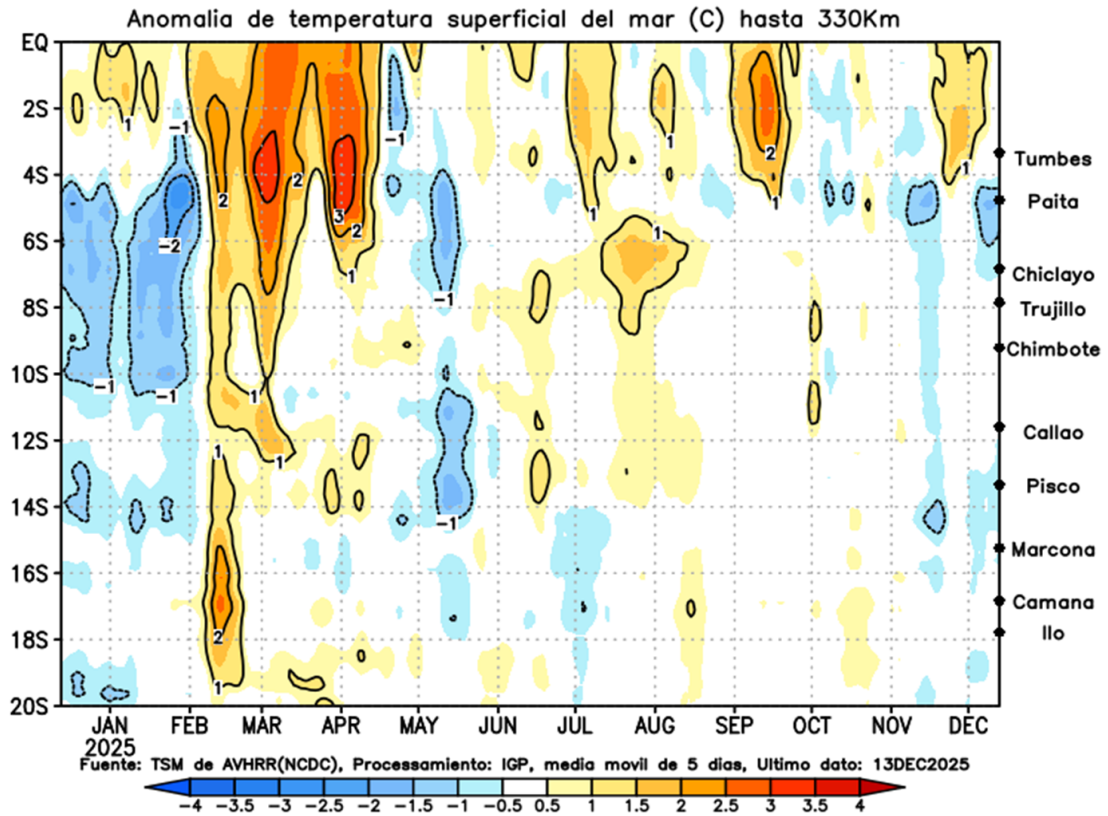


Figura 9. Anomalia del nivel del mar a lo largo de la franja ecuatorial (panel superior) y a lo largo de la costa peruana (panel inferior). Las unidades están en centímetros. Elaborado por el IGP.

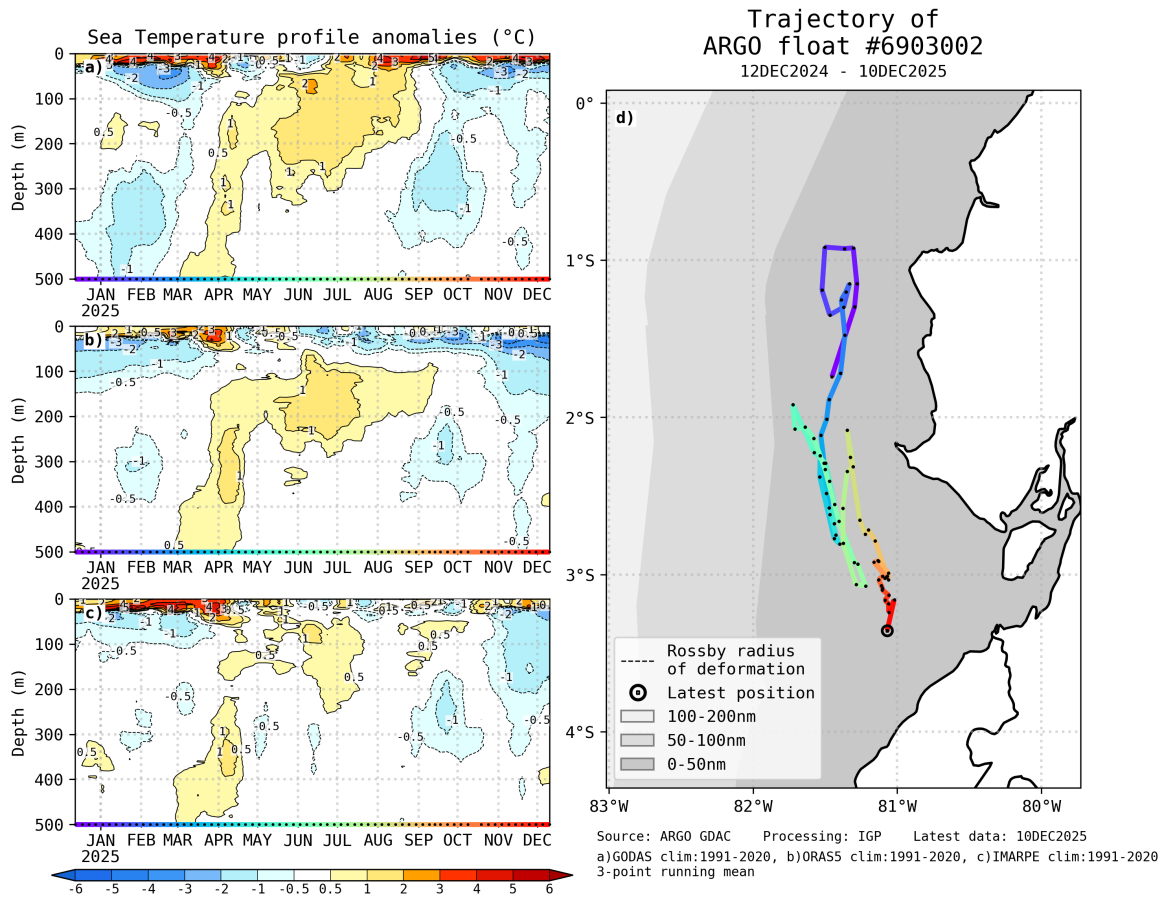


“Decenio de la Igualdad de oportunidades para mujeres y hombres”  
 “Año del Bicentenario, de la consolidación de nuestra Independencia,  
 y de la conmemoración de las heroicas batallas de Junín y Ayacucho”



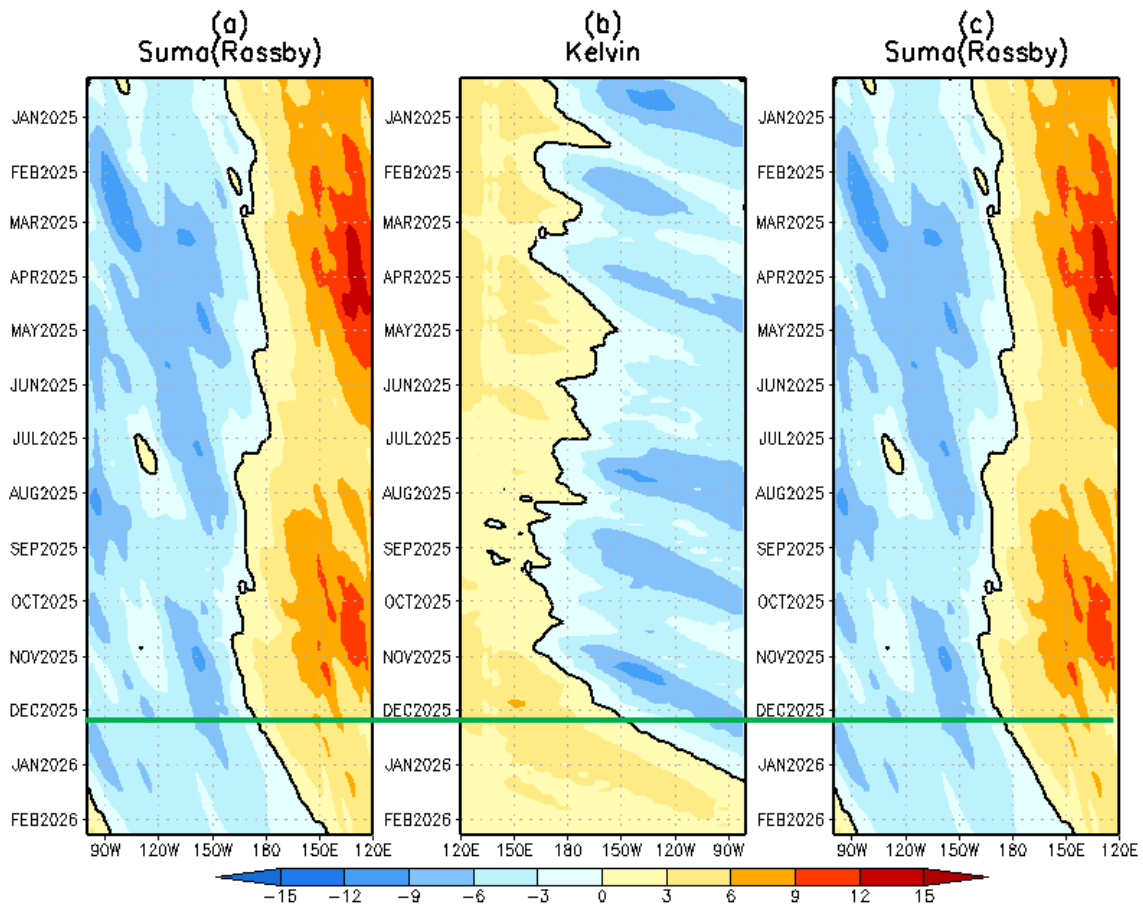
**Figura 10.** Anomalia de la TSM dentro de los 300 km de la costa peruana. Elaborado por el IGP.

“Decenio de la Igualdad de oportunidades para mujeres y hombres”  
“Año del Bicentenario, de la consolidación de nuestra Independencia,  
y de la conmemoración de las heroicas batallas de Junín y Ayacucho”



**Figura 11.** A la izquierda se aprecia la anomalía de la temperatura del mar hasta los 500 metros de profundidad, calculada de los datos del flotador ARGO No. 6903002. Estas anomalías se calculan en base a la climatología 1991-2020 para GODAS (a) e IMARPE (c), y 1981-2010 para (b) SODA. A la derecha se aprecia la trayectoria del flotador en los últimos 365 días. Cada color indica un periodo de aproximadamente 30 días y el círculo abierto representa la última posición del flotador. Elaborado por el GP.

“Decenio de la Igualdad de oportunidades para mujeres y hombres”  
“Año del Bicentenario, de la consolidación de nuestra Independencia,  
y de la conmemoración de las heroicas batallas de Junín y Ayacucho”



**Figura 12.** Diagrama longitud-tiempo de (a), diagrama de la onda de Rossby (b) diagrama de la onda de Kelvin, (c) diagrama de la onda de Rossby, calculado con el Modelo oceánico lineal (LOM), forzando por NCEP y termoclina constante. La línea verde horizontal indica el inicio de la simulación del pronóstico con esfuerzo de viento igual a cero. Elaborado por el IGP.

“Decenio de la Igualdad de oportunidades para mujeres y hombres”  
“Año del Bicentenario, de la consolidación de nuestra Independencia,  
y de la conmemoración de las heroicas batallas de Junín y Ayacucho”

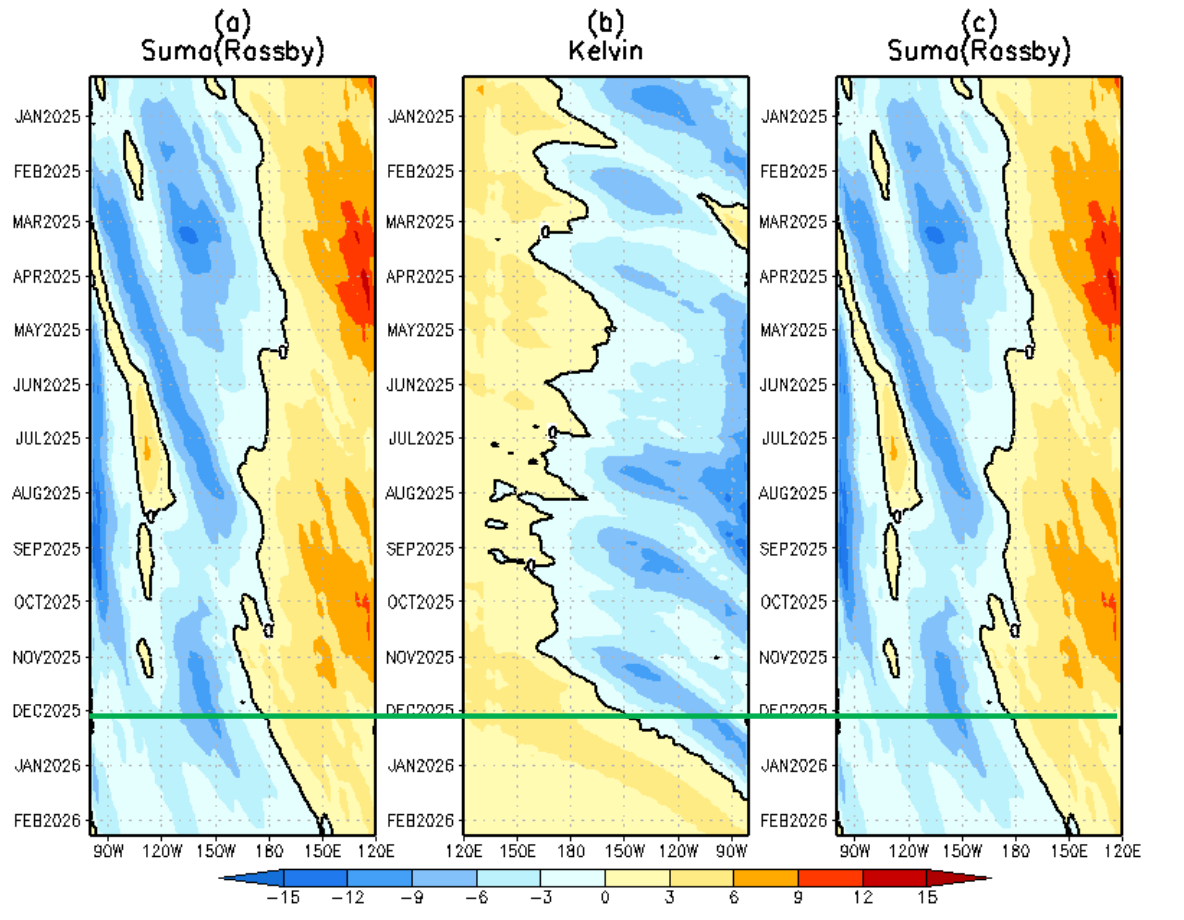
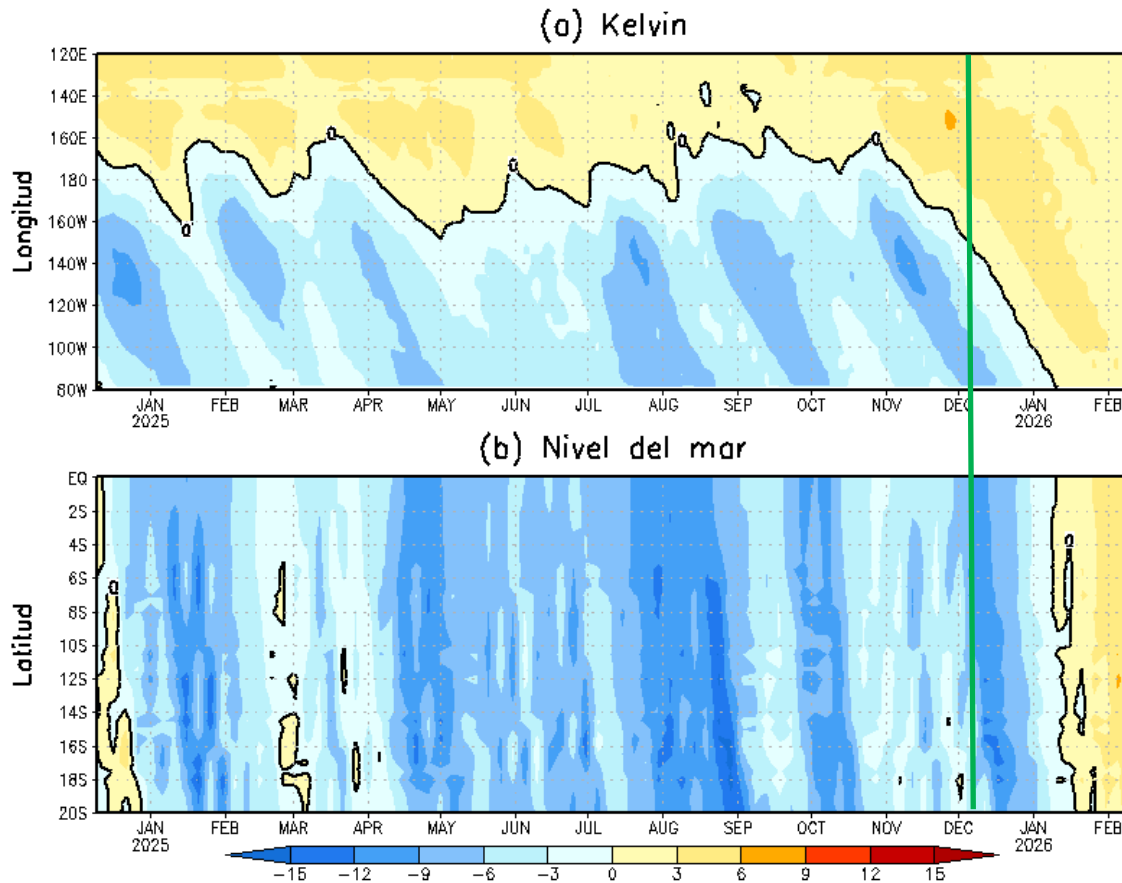


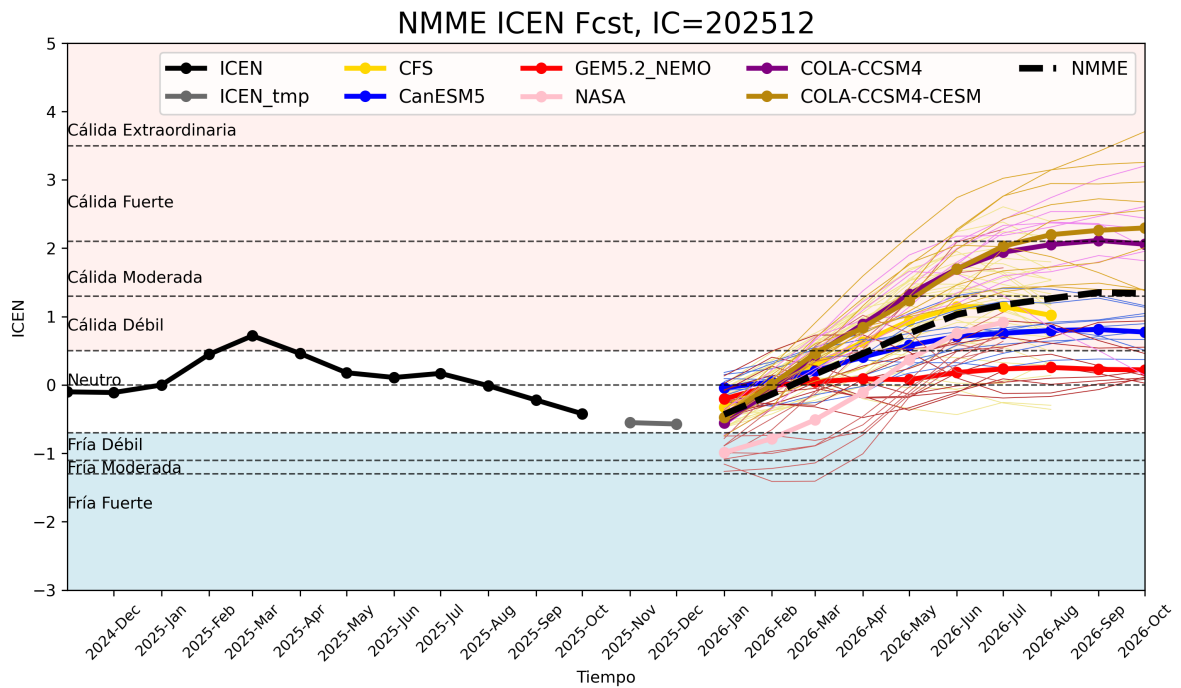
Figura 13. Igual que la Figura 12 pero el modelo es forzado con termoclina variable. Elaborado por el IGP.

“Decenio de la Igualdad de oportunidades para mujeres y hombres”  
“Año del Bicentenario, de la consolidación de nuestra Independencia,  
y de la conmemoración de las heroicas batallas de Junín y Ayacucho”



**Figura 14.** Simulación numérica de la anomalía del nivel del mar (cm) a lo largo de la franja ecuatorial del océano Pacífico (panel superior) y a lo largo de la costa peruana (panel inferior). Esta simulación se realizó con el modelo oceánico lineal (LOM) forzado con esfuerzo de viento del reanalysis de NCEP. La línea verde vertical indica el inicio de la simulación del pronóstico con esfuerzo de viento igual a cero. Elaborado por el IGP.

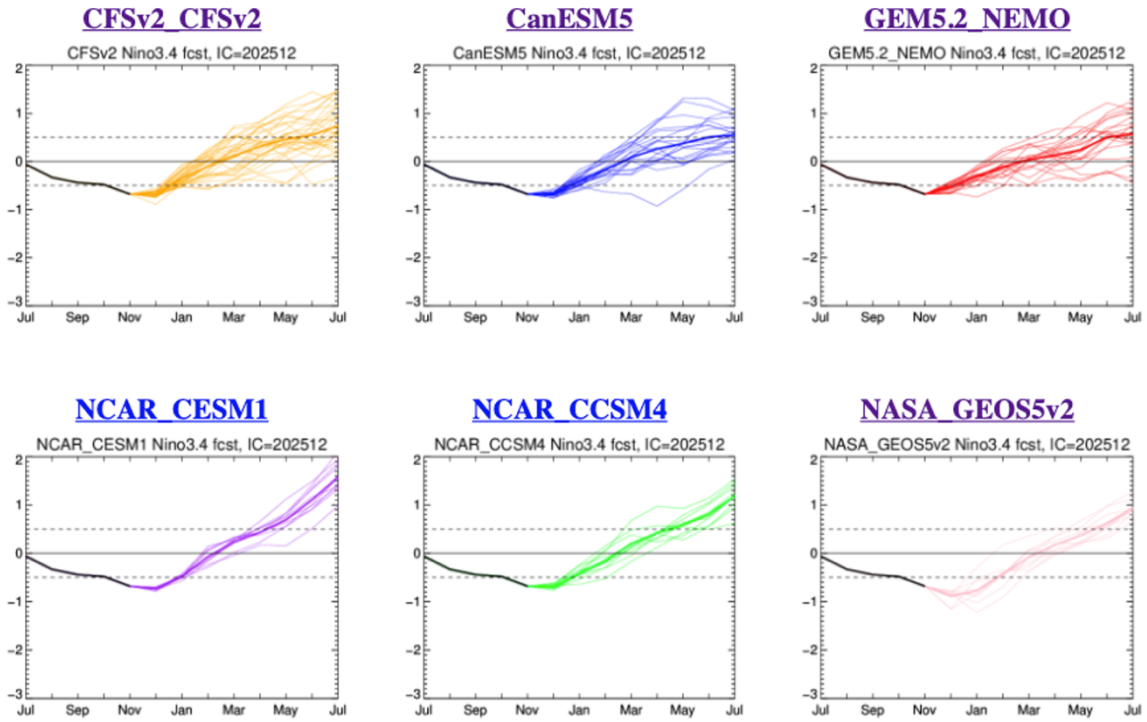
“Decenio de la Igualdad de oportunidades para mujeres y hombres”  
“Año del Bicentenario, de la consolidación de nuestra Independencia,  
y de la conmemoración de las heroicas batallas de Junín y Ayacucho”



**Figura 15.** Índice Costero El Niño (ICEN, línea negra con círculos llenos, fuente ERSSTv5) y sus valores temporales (ICENv5tmp, rojo con círculo lleno). Además, pronósticos numéricos del ICEN (media móvil de 3 meses de las anomalías pronosticadas de TSM en Niño 1+2) por diferentes modelos climáticos. Los pronósticos de los modelos CFSv2, CanSIPS-IC4, GEM5.2\_NEMO, NASA-GEOSS2S, COLA\_CCISM4 y COLA\_CESM1 tienen como condición inicial el mes de diciembre de 2025. Fuente: IGP, NOAA, NMME.

“Decenio de la Igualdad de oportunidades para mujeres y hombres”  
“Año del Bicentenario, de la consolidación de nuestra Independencia,  
y de la conmemoración de las heroicas batallas de Junín y Ayacucho”

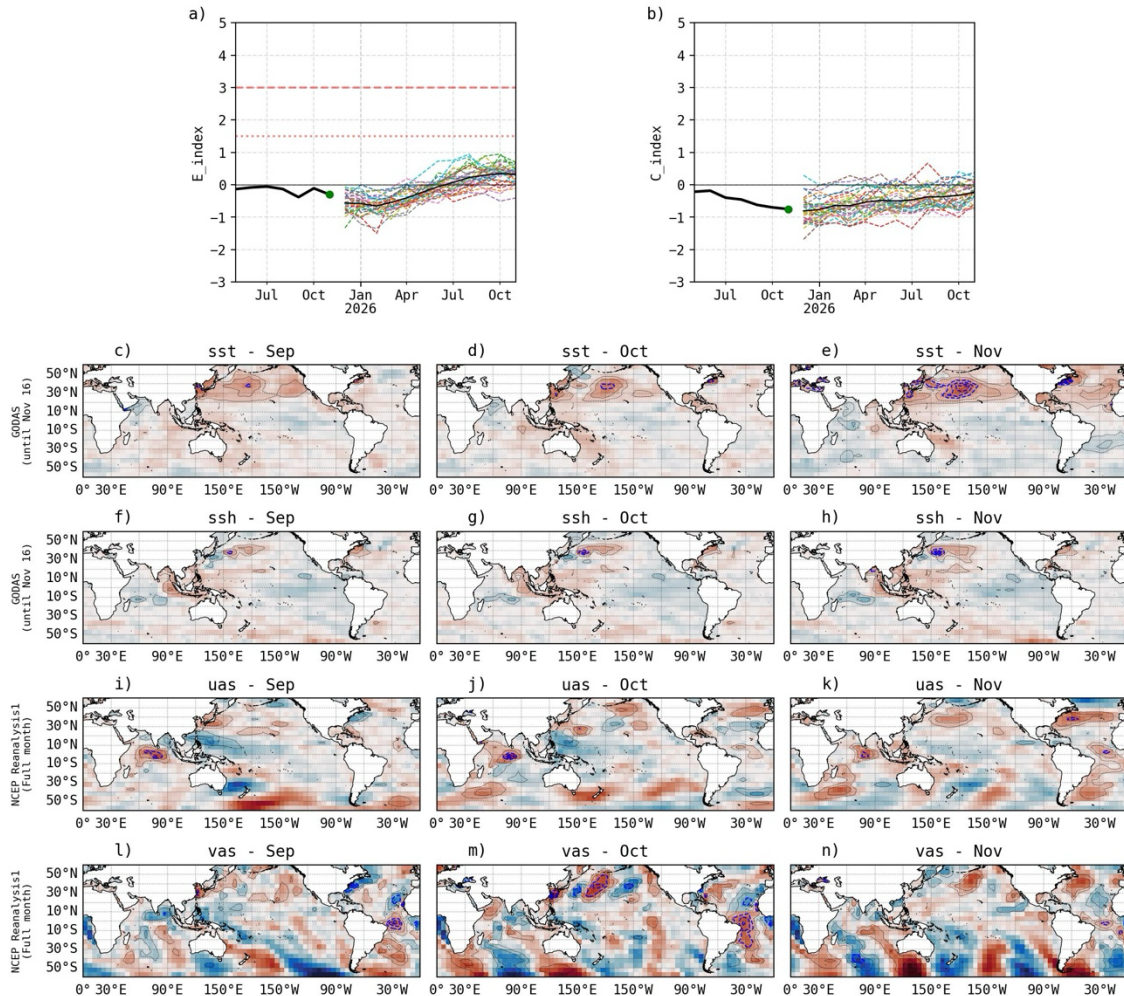
### NMME - Condiciones Iniciales de Diciembre 2025



**Figura 16.** Índice Niño 3.4 mensual observado (líneas de color plomo) y pronosticado por los modelos de NMME (líneas de distintos colores). Fuente: NMME.

“Decenio de la Igualdad de oportunidades para mujeres y hombres”  
“Año del Bicentenario, de la consolidación de nuestra Independencia,  
y de la conmemoración de las heroicas batallas de Junín y Ayacucho”

IGP-UHM IA model v1.0: Probability of a strong EP EN event ( $E > 1.5$ ) in the following Jan: 0.03% (classif.), 0.00% (regress.) IC: November (Temporal) FT 1871-1984. Processing date: 16-12-2025



**Figura 17.** Pronóstico del índice E (Takahashi et al., 2011) a doce meses basado en un modelo de inteligencia artificial (Rivera Tello et al., 2023) para el pronóstico de El Niño extremo. (a) Muestra la evolución del índice E, representado con una línea gruesa de color negro, desde mayo de 2024 a noviembre de 2025; el conjunto de líneas entrecortadas de colores indica el pronóstico del índice E desde diciembre de 2025 a noviembre de 2026. (b) Es lo mismo que (a) pero para el índice C (Takahashi et al., 2011). Desde (c) a (n), se muestra la “Explicabilidad” (explainability) de cuatro variables, en anomalías, usadas para el pronóstico: temperatura superficial del mar (primera fila), nivel del mar (segunda fila), viento zonal (tercera fila) y viento meridional (cuarta fila). Estas variables se obtienen de distintos meses: setiembre de 2025 (primera columna), octubre de 2025 (segunda columna) y noviembre de 2025 (tercera columna). Los contornos rojos (morados) de estos paneles indican regiones que favorecen (desfavorecen) al pronóstico de El Niño extremo. Elaborado por el IGP.